

東京都立大学 工学部 正会員 山本 稔

岡部株式会社 研究所 倉田勝次

○ " " " 正会員 加藤洋一郎

1. はじめに

風化が進んでいたり、亀裂が発達して脆弱化している岩盤斜面については、単に表面保護のみではなく、斜面の安定化を図る手段を構するのがよいと考える。このような岩盤斜面に対し、斜面安定の技術的観点から、また自然保護の観点からも有効と思われるアンカー工法について1つの考え方を述べるものである。

大斜面などの地すべりに対する工法とは異なり、比較的小規模の斜面表層の崩壊抑制を意図したもので、亀裂などで結合力の低下した岩片をロックボルト（全面接着式又は併用式）で結合して岩塊とし、これを石垣における間知石にみたて、斜面に擬似石垣構造体を造成し、斜面の安定を図る工法である。本工法は自然斜面および切土斜面に適用することを目的とするが、これと類似の工法に盛土斜面に対するテル・アルマー工法がある。

2. 実験概要

実験にあたっては、風化の極度に進んだ場合を想定して砂を対象にした。砂は利根川河口砂であり、すべて気乾状態で用いた。砂の物理試験結果は、表-1のとおりである。

表-1 砂の諸常数

内部摩擦角 (°)	40
含水比 (%)	2.8
均等係数	1.91
比重	2.78
単位体積重量 (t/cm³)	1.58
安息角 (°)	33

実験は、①基礎実験—アンカーボルトの引抜抵抗力と、②斜面崩壊の模型実験の両者からなる。

2-1 基礎実験—アンカーボルトの引抜抵抗力

実験装置及び方法は図-1に示すとおりである。実験に用いたアンカーボルトは引抜抵抗をもたらせるために、直径3mm、長さlのピアノ線のボルトに一边aなる方形板をアンカーヘッドとしてとりつけた。a及びlは経験的に定め、その値を表-2に示す。実験にあたってはこれらのアンカーボルトに対し、単一ボルト、2本群ボルト（群ボルト効果）、4本群ボルト（群ボルト効果）、装置を傾斜させた傾斜ボルト（単ボルトのみ）、斜めボルト（単ボルトのみ）の引抜抵抗力の計測を行なった。この結果から、斜面崩壊の模型実験に用いるアンカーボルトの力学的性質を示す資料として、ブロック化の条件を推定した。

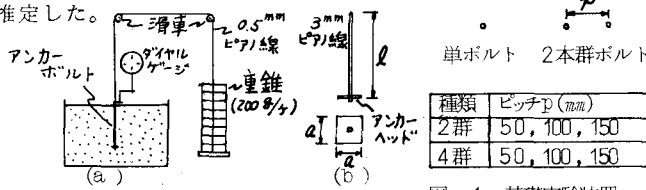


図-1 基礎実験装置

2-2 斜面崩壊模型実験

実験に用いたアンカーボルト及び実験装置を図-2に示す。アンカーボルトには砂の流出を防ぐため、その先端部に100mmの座金プレートがついている。アンカーボルトは鉛直面内で横方向に一列にしき並べたのち、座金プレートの前後に砂を座金高さまで一様にしきつめる。この作業を幾段もくり返して砂とアンカーボルトからなる鉛直斜面をつくりあげる。

表-2 アンカーヘッド及び長さ

a (mm)	10, 15, 20
l (mm)	100, 150, 200, 250, 300

アンカーボルト: 3×5=15種類

(C) 傾斜ボルト 座金プレート アンカーボルト

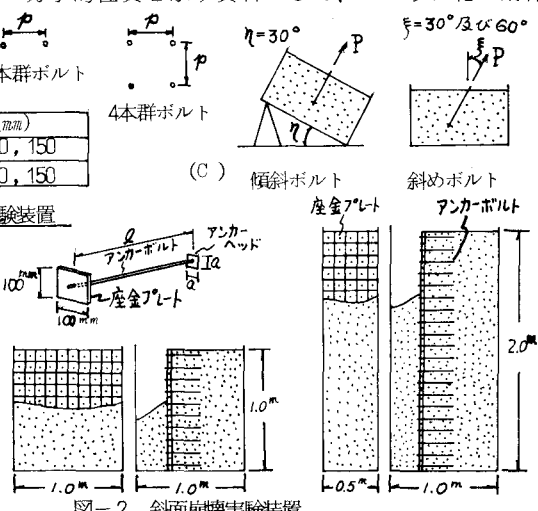


図-2 斜面崩壊実験装置

その後、アンカーボルト前面の砂を排除しながら、斜面の崩壊する高さ（限界高さ）を求め、アンカーボルトの崩壊抑制効果を調べることにした。実験条件は次のとおりである。①斜面高さH=1.0m(座金プレート10段分)。

巾1.0m(座金プレート10枚分)の装置において、 $\ell=250\text{mm}$, $a=10^\circ, 20^\circ$ のアンカーボルトの場合

②斜面高さ $H=2.0\text{m}$, 巾0.5mの装置において、 $a=20^\circ$, $\ell=150, 200, 250\text{mm}$ の場合

3. 実験結果

3-1 基礎実験: アンカーボルトの引抜抵抗力

アンカーボルトの長さ及びヘッドの寸法、設置間隔の違いによる引抜抵抗力の実験結果を表-3に示す。

単ボルトの引抜抵抗力を円錐形の砂の重量におきかえ、これをもとに群ボルトの引抜抵抗力を数値的に推定する

と表-4とのおりである。計算値と実験値との誤差は10

%以内に納まっており、計算による推定は比較的妥当であると考えることができる。この結果を利用して、群ボルト1本当たりの引抜抵抗力 R とボルトの設置間隔 p との関係を定めた結果は、図-3に示す通りである。このデーターは後述する斜面崩壊の模型実験にあたり、斜面の状況に応じて使用すべきアンカーボルトと設置間隔を定める基礎資料となる。

表-3 アンカーボルトの引抜抵抗力

実験種類	a (mm°)	破壊荷重 $p_b(\text{gr})$				
		100	150	200	250	300
単ボルト	10	1400	2880	5480	7760	9680
	15	1640	3600	7120	12100	15000
	20	1520	4160	8200	13100	20000
ビット50mm	20				9080	
2群	" 100	20			5920	10900
	" 150	20				14700
4群	" 100	20			7400	
	傾斜角30°	20				13200
斜面	" 30°	20			10500	
31張	" 60°	20			7720	

表-4 計算による円錐形の砂重量

種類	a (mm°)	砂の重量(g)		
		p (mm^{max})	200	250
2群	50		8250	
	100		9090	
	150		9071	
4群	100		6350	9800
	150		1071	9971
	200		11100	
	300		9171	
	4群	100	7300	
			9861	

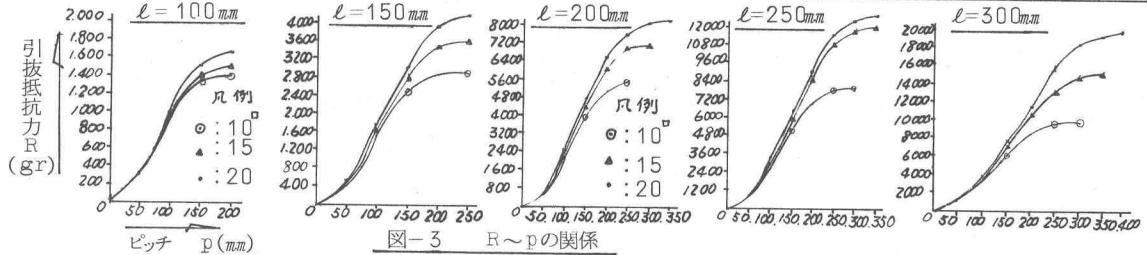


図-3 $R \sim p$ の関係

3-2 斜面崩壊模型実験

表-5 斜面崩壊模型実験結果

No	a	ℓ	p	斜面高 状 況
1	-	-	-	アンカーボルトは設置せず、押え板(座金プレート)のみの場合 前面の砂を排除中、10cmと20cmで崩壊
2	20	150	100	2
3	20	200	100	1.5
4	10	250	100	1
5	20	250	100	1
6	20	250	100	2

算式に従って定めると表-6のようになる。

$$(a) \text{ 転倒} \quad y_0 = 3\ell \left\{ -\frac{1}{2} \cot \theta + \sqrt{\left(\frac{1}{2} \cot \theta \right)^2 + k/3} \right\} k \sin \theta$$

$$(b) \text{ 滑動} \quad y_s = 2\ell (\tan \phi - \cos \theta) / k \sin \theta$$

$$(c) \text{ 引抜抵抗} \quad y_{lb} = R/K \cdot p^2 r \sin^2 \theta + \frac{1}{2} p \sin \theta$$

$$\text{土圧係数} \quad K = \sin^2(\phi + \theta) / \sin^2 \theta \left\{ 1 + \frac{\sin \phi \cdot \sin(\phi + \theta - \pi/2)}{\sin \theta} \right\}^2$$

この結果から、限界高さは(b)の滑動で求めた値が実験値に最も近似していることがわかる。今後さらに数多くの実験を行なって自然斜面及び切土斜面に対する1つの崩壊抑制工を確立させたい意向である。写真は、アンカーボルトと砂からなる鉛直斜面が自立しているところを示す。実験にあたり、都立大生 宇佐美吉久君には多大な協力をいたゞき謝意をあらわす。

参考文献：ロックボルトと土木工事・山本 稔

表-6 限界高さ

ℓ (mm)	y_0 0 cm	y_s 0 cm	y_{lb} 0 cm	実験値 10 cm
0	0 cm	0 cm	0 cm	-
100	37.1	77.1	32.6	-
150	55.7	115.7	53.7	90
200	74.3	154.3	74.8	140
250	92.8	192.9	95.2	200
300	111.4	231.5	118.5	-

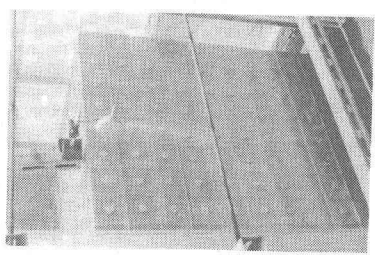


PHOTO.